

تحقیقات بتن

سال پنجم، شماره دوم

پاییز و زمستان ۹۱

۴۵-۵۳ ص

تاریخ دریافت: ۹۲/۵/۳

تاریخ پذیرش: ۹۲/۸/۱۶

## کاربرد روش تاگوچی در پیش‌بینی طرح اختلاط بهینه بتن حاوی نانوسیلیس و میکروسیلیس

سید حمید هاشمی\*

استادیار، دانشکده فنی و مهندسی، دانشگاه اراک

حمیدرضا صدیقی

دانشجوی کارشناسی ارشد سازه، دانشکده فنی و مهندسی، دانشگاه اراک

### چکیده

در این مقاله با بررسی کارآبی روش تاگوچی و توانایی آن در یافتن طرح اختلاط بهینه بتن حاوی نانوسیلیس، میکرو سیلیس و فاکتورهای مختلف همچون نسبت آب به سیمان (w/c)، سیمان با عیار مختلف ( $350, 400, 450 \text{ kg/cm}^3$ ) در سنین ۷ و ۲۸ روز مورد ارزیابی قرار گرفته است. نتایج حاصل از ۹ طرح اختلاط با روش تاگوچی مورد بررسی قرار گرفته تا طرح اختلاط بهینه بتن با بیشترین مقاومت فشاری، مقاومت چسبندگی بتن و میلگرد و کمترین میزان جذب آب بدست آید، سپس طرح پیشنهادی روش تاگوچی، در آزمایشگاه ساخته شده و نتایج آن مورد بررسی قرار گرفته تا بهینه‌ترین طرح اختلاط بدست آید. در این پژوهش علاوه بر انجام آزمایش‌های مکانیکی و نفوذپذیری، که در مقیاس ماکرو انجام می‌شود، آزمایش پراش اشعه ایکس (XRD) نیز در مقیاس میکرو انجام گردید، تا بتوان دلایلی برای اثبات تغییر نتایج حاصل از آزمایش‌ها، با توجه به افروده شدن نانوسیلیس و میکروسیلیس به بتن بدست آورد. مقایسه بین نتایج روش تاگوچی و نتایج آزمایشگاهی میزان اعتبار روش تاگوچی در بهینه نمودن طرح‌های اختلاط بتن را نشان می‌دهد.

**واژه‌های کلیدی:** روش تاگوچی، مقاومت فشاری، چسبندگی بتن و میلگرد، نفوذپذیری، آرایه‌های متعامد، آزمایش پراش اشعه ایکس

\*نوبنده مسؤول: h-hashemi@araku.ac.ir

## ۱- مقدمه

بسیار توانمند با حساسیت بسیار کم در برابر عوامل غیرقابل کنترل (عوامل اغتشاش) می‌گردد [۶]. پژوهشگران بسیاری در خصوص تعیین طرح اختلاط مناسب انواع بتن از روش سیستماتیک تاگوچی استفاده کرده‌اند. روش تاگوچی روش عددی است که با استفاده از آرایه‌های متعدد خاصی به پیشگویی حالت‌های بهینه مواد کامپوزیت می‌پردازد. در این مقاله به بررسی کارآیی این روش و توانایی آن در یافتن طرح اختلاط بهینه بتن‌های حاوی نانوسیلیس و میکروسیلیس جهت حداقل کردن نفوذپذیری و حداکثر شدن مقاومت فشاری و مقاومت چسبندگی پرداخته شده است.

### ۲- برنامه آزمایشگاهی

در این پژوهش، به منظور بررسی خواص مکانیکی و جذب آب در نمونه‌های بتنی، ۹ طرح اختلاط با استفاده از روش تاگوچی با برنامه آزمایشگاهی ۲۸ روزه در نظر گرفته شد. تعداد نمونه‌های آزمایش شده ۷۱ نمونه بود که تعداد ۵۴ نمونه از ۹ طرح اختلاط برای آزمایش مقاومت فشاری و جذب آب در سینی ۷ و ۲۸ روزه و بقیه نمونه‌ها برای آزمایش چسبندگی بتن و میلگرد مورد بررسی قرار گرفتند. آزمایش پراش اشعه ایکس نیز در سن ۲۸ روز بر روی نمونه کاملاً پودر شده بهینه انجام گرفت. همچنین مقدار میکروسیلیس و نانوسیلیس به عنوان جایگزینی از سیمان در نظر گرفته شدند.

### ۳- مصالح مصرفی

مشخصات نانوسیلیس استفاده شده در این تحقیق در جدول ۱ نشان داده شده است. میکروسیلیس مصرفی نیز از شرکت صنایع فرو آلیاز ایران واقع در ازان که مشخصات آن در جدول ۲ ارائه شده است، تهیه گردید. سنگدانه‌های ریز مصرفی (ماشه) از نوع طبیعی دوبار شوی و درشت‌دانه مصرفی (شن) از نوع شکسته کوهی که دانه‌بندی با نسبت مساوی مانده روی الک‌های ۱/۲، ۳/۴ و نمره ۴ می‌باشدند. سیمان پرتلند استفاده شده در این پژوهه از نوع سیمان پرتلند نوع دو می‌باشد و از کارخانه سیمان دلیجان خریداری و مشخصات آن در جدول شماره ۳ نشان داده شده است. همچنین در این تحقیق برای افزایش کارایی از فوق روان‌کننده نسل سوم با نام تجاری

جهت دستیابی به بتنی با تراکم بالا و نفوذپذیری کم، بایستی عوامل مختلف از جمله: دانه‌بندی سنگدانه‌ها، میزان مصرف سیمان و دیگر افزودنی‌ها و مصالح مورد استفاده به طور کامل موردن آزمایش قرار گیرند و مقدار بهینه استفاده از هر کدام مشخص گردد. با توجه به اثرات استفاده از نانوسیلیس در بتن، از جمله بهبود ریزاساختار، کاهش نفوذپذیری، کاهش اندازه تخلخل و افزایش مقاومت فشاری می‌توان استدلال نمود که استفاده از نانوسیلیس مفید می‌باشد. نتایج تحقیقات انجام شده توسط کولپاردی و همکاران این مساله را تایید می‌کند [۱]. هدف نهایی از بررسی مواد در مقیاس نانو، یافتن طبقه جدیدی از مصالح ساختمانی با عملکرد بالا می‌باشد، که آنها را می‌توان به عنوان مصالحی با عملکرد بالا و چند منظوره اطلاق نمود. یکی از ویژگی‌های میکروسیلیس که باعث بهبود خواص بتن تازه و سخت می‌گردد، نرمی ذرات آن است. دانه‌های میکروسیلیس که تقریباً ۱۰۰ برابر از سیمان نرم‌تر هستند منافذ بین سیمان را در بتن پر کرده و باعث افزایش مقاومت بتن و کاهش نفوذپذیری آن می‌گردد. بن و همکاران در سال ۲۰۰۵ م به بررسی اثر برخی از افزودنی‌های معدنی همچون میکروسیلیس بر روی مقاومت فشاری بتن پرداختند که نتیجه استفاده از این مواد به مقاومت بسیار مناسب فشاری دست پیدا کرد [۲]. در حالت کلی با افزایش مقدار میکروسیلیس در مخلوط‌های بتنی مقاومت فشاری افزایش می‌یابد، پیشترین مقاومت فشاری مشاهده شده مربوط به بتن با ۱۰ درصد جایگزینی سیمان به وسیله میکروسیلیس بوده است [۴]. در برنامه آزمایشگاهی از روش سیستماتیک طراحی آزمایش‌های تاگوچی به منظور ساخت نمونه‌ها و تعیین مقدار بهینه مصالح استفاده گردید. یکی از مهمترین مزیت‌های این روش نسبت به روش‌های معمول آزمایشگاهی علاوه بر کاهش هزینه‌ها و افزایش سرعت، این است که شرایط بهینه، طوری انتخاب می‌شوند که تأثیر فاکتورهای غیرقابل کنترل، باعث ایجاد حداقل تغییرات در عملکرد سیستم و کیفیت محصولات خروجی شود [۵]، به عبارت دیگر، استفاده از این روش ضمن اینکه بسیار اقتصادی بوده، منجر به ایجاد یک طراحی آزمایش

بدست آورده‌یم و با استفاده از نرم افزار Qualitek-4 [۷] بدهیم که بهینه بودن آن در طبقه‌بندی ساخته شده و نتایج آن مورد بررسی قرار گرفت.

M63 بر پایه ملامین سولفونات با رنگ قهوه‌ای روش استفاده شده است. آب مصرفی در پروژه، آب شرب شهر اراک می‌باشد.

۱- عیار سیمان:  $450, 400, 350 \text{ kg/cm}^2$

۲- نسبت آب به سیمان: (W/C):  $0.3 / 0.35, 0.4 / 0.45$

۳- نانو سیلیس:  $0.1/5, 0.1/3\%$  وزن سیمان

۴- میکرو سیلیس:  $0.1/10, 0.1/10\%$  وزن سیمان

#### ۴- طرح اختلاط

ابتدا با استفاده از روش تاگوچی با معرفی نسبت‌هایی از پارامترهای موثر در طرح اختلاط که شامل آب، عیار سیمان، نانو سیلیس و میکرو سیلیس می‌باشد نه طرح اختلاط را ساخته جداول ۴ و ۵ بدست آمد. سپس این نه طرح اختلاط را ساخته و بعد از آن نتایج مقاومت فشاری، نفوذ آب و چسبندگی را

جدول ۱- مشخصات نانو سیلیس

شكل ظاهری	وزن مخصوص ( $\text{g/cm}^3$ )	$\text{SiO}_2$ درصد وزنی	PH	ویسکوزیته	میانگین اندازه ذرات	درصد سیلیس در فاز جامد	سطح ویژه $\text{m}^2/\text{g}$
مایع سفید رنگ	۱/۴۰۳	۴۹-۵۱/۵	۹/۱	۱۵Max	۳۴ nm	۷۹۹/۷	۷۰-۱۰۰

جدول ۲- مشخصات میکرو سیلیس

$\text{SiO}_2$	حدائق سطح ویژه	درصد کربن	افت سرخ شدن	وزن مخصوص
۹۶/۰۴ درصد	۲۰ $\text{m}^2/\text{g}$	۰/۵ درصد	۱/۴۲ درصد	۳۰۰-۷۰۰ $\text{kg/m}^3$

جدول ۳- مشخصات سیمان مصرفی

سیمان تیپ دو دلیجان	$\text{SiO}_2$	$\text{Al}_2\text{O}_3$	$\text{Fe}_2\text{O}_3$	$\text{CaO}$	$\text{MgO}$	$\text{SO}_3$	$\text{K}_2\text{O}$	$\text{Na}_2\text{O}$	Cl	L.O.I	I.R	$\text{C}_3\text{S}$	$\text{C}_2\text{S}$	$\text{C}_3\text{A}$	$\text{C}_4\text{AF}$
	۲۰/۹	۵/۰۰	۴/۳۰	۶۵	۱/۰۲	۱/۸۰	۰/۶	۰/۳۲	۰/۰۱۳	۰/۹۳	۰/۵	۶۰/۸	۱۴/۱	۶/۰	۱۳/۰

جدول ۴- مقادیر هر پارامتر حاصل از روش تاگوچی

نسبت مورد استفاده هر پارامتر طرح					شماره هر پارامتر
۴	۳	۲	۱		نمونه ۱
۱	۱	۱	۱		نمونه ۲
۲	۲	۲	۱		نمونه ۳
۱	۳	۳	۱		نمونه ۴
۱	۲	۱	۲		نمونه ۵
۱	۳	۲	۲		نمونه ۶
۲	۱	۳	۲		نمونه ۷
۲	۳	۱	۳		نمونه ۸
۱	۱	۲	۳		نمونه ۹
۱	۲	۳	۳		

جدول ۵- طرح اختلاط بتن ( $\text{kg}/\text{m}^3$ )

شماره طرح	سیمان	آب	آب	آب به سیمان	شن	ماسه	نانوسیلیس	میکروسیلیس	اصلاح شده	فوق روان کننده
۱	۳۵۰	۱۰۵	۰/۳	۹۷۲/۵	۹۷۲/۵	۹۷۲.۵	۰	۰	۰	۸/۷۵
۲	۳۵۰	۱۲۲/۵	۰/۳۵	۹۶۳/۷	۹۶۳/۷	۹۶۳.۷	۳۵	۵/۲۵	۲۰۹/۷۵	۷
۳	۳۵۰	۱۴۰	۰/۴	۹۵۵	۹۵۵	۹۵۵	۰	۱۰/۵	۳۳۹/۵	۷
۴	۴۰۰	۱۲۰	۰/۳	۹۴۰	۹۴۰	۹۴۰	۶	۶	۳۹۴	۱۰
۵	۴۰۰	۱۴۰	۰/۳۵	۹۴۰	۹۴۰	۹۴۰	۶	۶	۲۸۸	۸
۶	۴۰۰	۱۶۰	۰/۴	۹۲۰	۹۲۰	۹۲۰	۰	۰	۴۰	۳۶۰
۷	۴۵۰	۱۳۵	۰/۳	۸۷۸/۲	۹۰۷/۵	۹۰۷.۵	۴۵	۱۳/۵	۳۹۱/۵	۱۱/۲۵
۸	۴۵۰	۱۵۷/۵	۰/۳۵	۸۹۶/۲	۸۹۶/۲	۸۹۶.۲	۰	۰	۰	۴۵۰
۹	۴۵۰	۱۸۰	۰/۴	۸۸۱/۶	۸۸۵	۸۸۵	۰	۶/۷۵	۴۴۳/۲۵	۹

۶ نمونه ساخته شده و نمونه‌ها پس از ساخت، در آب عمل آوری شدند. در سینین ۷ و ۲۸ روز پس از عمل آوری، ۳ نمونه برای هر طرح اختلاط، از آب خارج شده و در حالت اشباع با سطح خشک براساس استاندارد BS:1881-1116 تحت آزمایش مقاومت فشاری قرار گرفته و نتایج ثبت شدند [۸].

۶-۲- آزمایش تعیین درصد جذب آب نمونه‌ها برای هر طرح اختلاط تعداد ۳ نمونه مکعبی با ابعاد ۱۵ سانتی‌متر ساخته و نمونه‌ها پس از ساخت، در آب عمل آوری شدند. سپس آزمایش در سن ۲۸ روز به این شرح انجام گرفت که نمونه‌های مربوط به هر طرح اختلاط، از آب خارج شده و در گرمکن با دمای ۶۰ درجه سانتیگراد، به مدت ۳ روز (تا ثابت شدن وزن نمونه‌ها) قرار گرفتند. پس از خشک شدن نمونه‌ها در این مدت، نمونه‌ها از گرمکن بیرون آورده شده و داخل آب قرار می‌گیرند. پس از گذشت ۲۴ و ۴۸ ساعت از قرار گیری در آب، نمونه‌ها از آب خارج شده و وزن آنها اندازه گیری و ثبت شد. درصد جذب آب نمونه‌ها مطابق رابطه زیر محاسبه گردید [۹].

$$\text{Water Absorption} = 100 \times (W_2 - W_1) / W_1$$

در این رابطه  $W_1$  وزن اولیه پس از بیرون آوردن از گرمکن،  $W_2$  وزن نمونه پس از قرار گیری در آب است.

۵- ساخت، آماده‌سازی و نگهداری نمونه‌های بتونی برای ساخت مخلوط‌ها، ابتدا مصالح مصرفی به دقت توزین می‌گردد. آنگاه شن و ماسه توزین شده، ابتدا در داخل مخلوط کن الکتریکی کج شونده، ریخته شده و در مرحله بعد مخلوط همگن سیمان و میکروسیلیس به مخلوط اضافه شده و به مدت ۳۰ ثانیه اختلاط انجام می‌شود. در مرحله بعد نیمی از آب اختلاط با نیمی از فوق روان کننده بعد از بهم زدن کامل به مخلوط، اضافه و به مدت ۱ دقیقه مخلوط هم زده می‌شود و در مرحله آخر در صورت وجود نانوسیلیس در طرح اختلاط، نیمی از آب و فوق روان کننده باقی مانده به همراه نانوسیلیس کاملاً مخلوط و به مخلوط کن افزوده و به مدت ۲ دقیقه عملیات اختلاط انجام می‌شود. بلا فاصله بعد از پایان یافتن اختلاط، آزمایش‌های اسلامپ بر روی مخلوط انجام می‌گیرد.

سپس نمونه‌های قالب‌گیری شده توسط میز لرزان متراکم می‌شوند. برای جلوگیری از تبخیر آب از سطح بتون‌های قالب‌گیری شده، روی قالب‌ها با کاورهای نایلونی پوشانده شده و نمونه‌ها بعد از ۲۴ ساعت از قالب خارج می‌شوند. نمونه‌ها پس از خروج از قالب بلا فاصله در استخر آب با دمای حدود ۱۹ تا ۲۳ درجه نگهداری می‌شوند.

۶- آزمایش‌های مورد استفاده در این تحقیق

#### ۶-۱- آزمایش تعیین مقاومت فشاری

جهت انجام این آزمایش، نمونه‌هایی مکعبی بتونی به ابعاد ۱۰ سانتی‌متر به تعداد طرح‌های اختلاط و برای هر طرح اختلاط.

### جدول ۶- نتایج آزمایشات

نمونه	مقاومت فشاری ۲۸ روزه (kg/cm <sup>2</sup> )	جذب آب ۲۴ ساعته	مقاومت فشاری ۷ روزه (kg/cm <sup>2</sup> )	مقاومت چسبندگی (kg/cm <sup>2</sup> )
۱	۵۰۱	۷۲۶	۷۲۶	۹۴.۴۱
۲	۴۹۴	۷۳۴	۷۳۴	۹۱.۷۸
۳	۴۲۰	۶۷۳	۶۷۳	۷۷.۹۸
۴	۵۱۷	۷۱۴	۷۱۴	۱۱۵.۴۵
۵	۴۶۰	۶۹۷	۶۹۷	۱۱۰.۹
۶	۴۲۰	۷۰۳	۷۰۳	۹۸.۸۸
۷	۵۳۵	۷۶۴	۷۶۴	۱۲۷.۷۶
۸	۴۸۴	۷۱۱	۷۱۱	۸۹.۲۵
۹	۴۲۳	۶۵۸	۶۵۸	۸۵.۶۹

شکل شماره ۳ و ۴ روند تغییرات مقاومت فشاری ۷، مقاومت فشاری ۲۸، مقاومت چسبندگی بتن و میلگرد و جذب آب را در ۹ طرح اختلاط تا گوچی نشان می‌دهد.

با توجه به اشکال ۳ و ۴ می‌توان مشاهده نمود که روند تغییرات در هر ۹ طرح اختلاط یکسان است و این روند را می‌توان با روند تغییرات مقاومت فشاری نسبت داد.

طرح اختلاط بهینه پیشنهادی توسط نرم افزار Qualitek-4 جهت حداکثر شدن مقاومت فشاری، مقاومت چسبندگی و حداقل شدن جذب آب در جدول شماره ۷ ارائه شده است. طرح اختلاط پیشنهادی بهینه و میزان انتظار از نتایج ارائه شده توسط نرم افزار در جدول شماره ۸ مشاهده می‌شود. به منظور اعتبار پیش‌بینی‌های انجام شده که در جداول مشاهده می‌شود، این نمونه تاییدی با سطوح بهینه ساخته شد و نتایج

### ۳-۶- آزمایش مقاومت چسبندگی بتن به میلگرد

برای هر طرح اختلاط ۳ نمونه مکعبی به ابعاد ۱۵ سانتیمتر که یک عدد میلگرد با قطر ۱۶ میلیمتر در وسط نمونه قرار گرفته و ۱۰ سانتیمتر از میلگرد خارج از نمونه می‌باشد. بعد از ۲۸ روز عمل آوری در آب، نمونه‌ها با استفاده از دستگاه کشش میلگرد طبق استاندارد RILEM/CEB/FIPstandard [۱۰] تست شده (شکل ۱) و طبق رابطه زیر، تنش برشی میان میلگرد و بتن محاسبه می‌گردد [۱۱].

$$\tau = \frac{P}{\pi dl} \quad (\frac{kg}{cm^2})$$

که در آن :

P: نیروی کششی (kg)

d: قطر میلگرد (cm)

l: طول مدفعون میلگرد (cm)



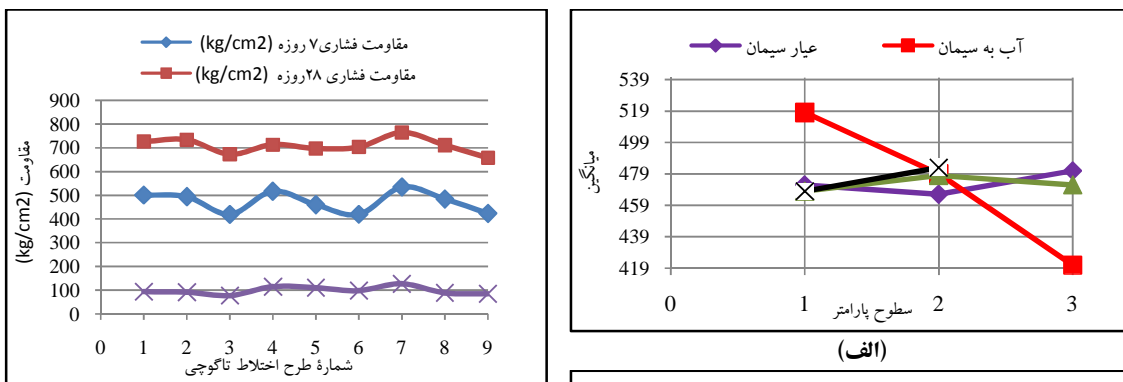
شکل ۱- نحوه قالب‌گیری و دستگاه تست کشش میلگرد

### ۷- نتایج آزمایش‌ها و تحلیل تاگوچی

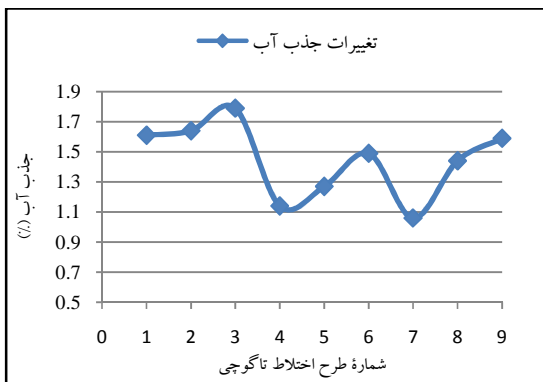
براساس تست‌های انجام شده، مقدار نتایج از میانگین ۳ نمونه در شرایط یکسان به صورت جدول ۶ می‌باشد.

نتایج بدست آمده وارد نرم افزار (Qualitek-4) شده و میزان تاثیر هر پارامتر بر روی ویژگی‌های مقاومتی و جذب آب توسط تحلیل استاندارد مورد ارزیابی قرار گرفته می‌شود.

در شکل ۲، تأثیر سطوح پارامترهای مختلف در بهینه شدن طرح نشان داده شده است.

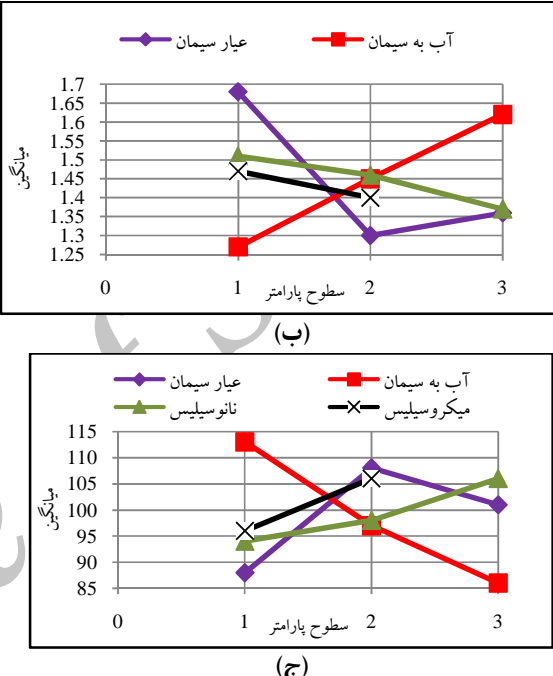


شکل ۳- روند تغییرات مقاومت در ۹ طرح اختلاط تاگوچی



شکل ۴- روند تغییرات جذب آب در ۹ طرح اختلاط تاگوچی

آن و میزان اختلاف طرح آزمایشگاهی و طرح نرم افزار در جدول ۹ ارائه شده است. همانگونه که از جدول ۹ مشاهده می شود، اختلاف های بدست آمده بین نتایج نرم افزار و نمونه تست شده آزمایشگاهی بسیار ناجیز است.



شکل ۲- تاثیر پارامترهای اصلی در: (الف) مقاومت فشاری؛  
(ب) جذب آب و (ج) مقاومت چسبندگی

جدول ۷- درصد مشارکت پارامترها در بهینه شدن طرح های اختلاط

پارامتر در جذب آب	درصد مشارکت هر پارامتر در جذب آب	درصد مشارکت هر پارامتر در مقاومت فشاری	درصد مشارکت هر پارامتر در مقاومت چسبندگی	پارامترهای مؤثر
۵۱/۲	.	.	۳۱/۲۵	سیمان
۳۸/۴	۸۹/۳	.	۴۶/۹۶	نسبت آب به سیمان (W/C)
۵/۵	.	.	۹/۹۴	نانوسیلیس
۲/۱	۱/۶۴	.	۱۰/۸۸	میکروسیلیس

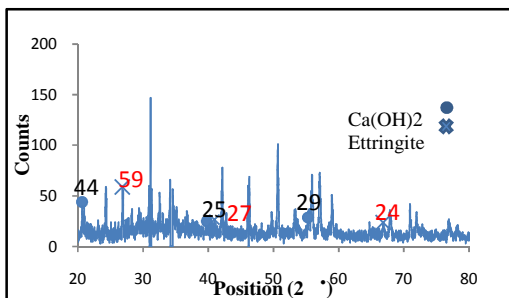
جدول ۸- طرح اختلاط بهینه پیشنهادی توسط نرم افزار Qualitek-4

میزان مورد انتظار	میزان مورد انتظار	درصد میکروسیلیس	درصد نانوسیلیس	درصد میکروسیلیس	نسبت آب به سیمان	عيار سیمان	حداکثر مقاومت فشاری
۵۴۱/۳۳ kg/cm³	۵۴۱/۳۳ kg/cm³	%۱۰	%۱۵	%۱۰	۰/۳	۴۵ kg/m³	۴۵ kg/m³
۱۳۵/۲۶ kg/cm³	۱۳۵/۲۶ kg/cm³	%۱۰	%۳	%۳	۰/۳	۴۰ kg/m³	۴۰ kg/m³
%۰/۹۹۴	%۰/۹۹۴	%۱۰	%۳	%۳	۰/۳	۴۰ kg/m³	۴۰ kg/m³

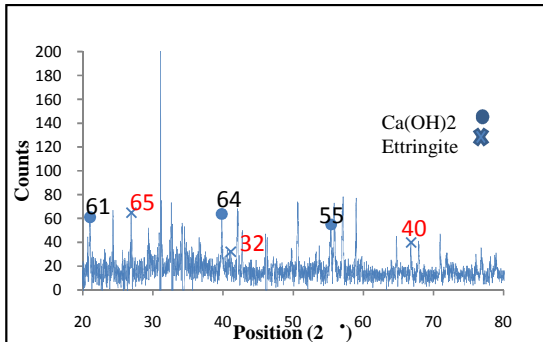
جدول ۹ - مقایسه بین طرح اختلاط بهینه پیشنهادی توسط نرم افزار Qualitek-4 و نمونه ساخته شده در آزمایشگاه

میزان اختلاف نتایج	نتیجه آزمایشگاهی	نتیجه نرم افزار	نوع آزمایش
٪۰/۷۵	۵۴۵/۴۳ kg/cm <sup>3</sup>	۵۴۱/۳۳ kg/cm <sup>3</sup>	مقاومت فشاری (روزه)
-٪۲۳	۱۳۲/۱۱ kg/cm <sup>3</sup>	۱۳۵/۲۶ kg/cm <sup>3</sup>	مقاومت چسبندگی
٪۳/۲۱	٪۱/۰۲۶	٪۰/۰۹۹۴	جذب آب

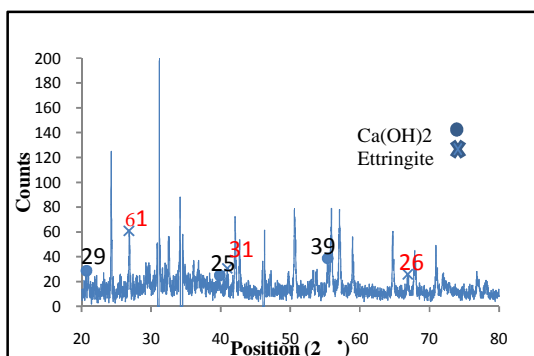
۸- نتایج آزمایش XRD



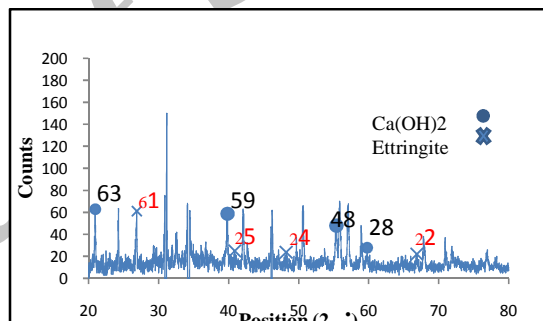
ب: نمونه حاوی ۱۰ درصد میکروسیلیس و ۳ درصد نانوسیلیس  
(W/C=0.3)



الف- نمونه فاقد نانوسیلیس و میکروسیلیس (W/C=0.3)



ب: نمونه حاوی ۱۰ درصد میکروسیلیس و ۳ درصد  
نانوسیلیس (W/C=0.4)



ج- نمونه فاقد نانوسیلیس و میکروسیلیس (W/C=0.4)

شکل ۵- طیف‌های XRD نمونه‌های بتون

میکروسیلیس اندازه کریستال‌های Ca(OH)<sub>2</sub> را در محل سطح مشترک سنگدانه و ملات (ITZ) کاهش داده و ساختار این ناحیه را به شکل مؤثری ارتقاء می‌دهد و باعث افزایش مقاومت چسبندگی بتن و میلگرد فولادی می‌شود.

#### ۹- نتیجه گیری

۱- افزودن نانوسیلیس و میکروسیلیس باعث افزایش مقاومت فشاری، چسبندگی و کاهش جذب آب در بتن می‌شود.

۲- جایگزینی نانوسیلیس کلوئیدی با سیمان در بهبود

در اشکال ۵-الف تا ۵-د طیف‌های نمونه‌های بتون مختلف در نسبت‌های آب به سیمان ۰/۳ و ۰/۴ نشان داده شده است.

همانطور که از اشکال بالا مشخص است، افزودن ۳ درصد نانوسیلیس نسبت به ۱۰ درصد میکروسیلیس تاثیر بیشتری در کاهش شدت پیک‌های هیدروکسید کلسیم موجود در نمونه‌های بتونی دارد. در نتیجه با مصرف شدن و کاهش هیدروکسید کلسیم و تولید ژل متراکم C-S-H ساختمان سیمان متراکم تر شده و مقاومت بتن افزایش و نفوذپذیری آن به شدت کاهش می‌یابد. همچنین استفاده از نانوسیلیس و

- Husk Ash Foamed Concrete, International Journal of Civil & Environmental Engineering IJCEE Vol: 9, pp: 121-129, 2004.
- [6] Prabir Kumar Chaulia and Reeta Das, "Process Parameter Optimization for Fly Ash Brick by Taguchi Method", Materials Research, Vol. 11, No. 2, p: 159-164, 2008.
- [7] automatic design and analysis of taguchi experiments,Nutek, Inc.
- [8] British Standards Institution. Testing Concrete, Method for Determination of Compressive Strength of Concrete Cubes, BSI, London, BS 1881- 116, 1983.
- [9] م. جوکار و ح. رحمانی، بررسی خصوصیات مکانیکی بتن متراکم ساخته شده با میکروسیلیس و نانوسیلیس، ششمین کنگره ملی مهندسی عمران، سمنان، ۱۳۹۰.
- [10] Fib, Bulltin 10, Bond of reinforcement in concrete, state of the art Report prepared by Task Group Bond Models, former CEB,Task Group 5.2.CH-1015, 2000.
- [11] Yalciner, H., Eren, O. and Sensoy, S., An experimental study on the bond strength between reinforcement bars and concrete as a function of concrete cover, strength and corrosion level, Cement and Concrete Research, Vol.42 , pp: 643–655, 2012.

- ۲- جایگزینی نانوسیلیس کلوئیدی با سیمان در بهبود ویژگی‌های جذبی و نفوذپذیری بتن نسبت به خصوصیات مقاومتی بتن مشارکت و تاثیر بیشتری دارد.
- ۳- نسبت آب به سیمان یکی از پارامترهای مهم در افزایش مقاومت فشاری، چسبندگی و کاهش نفوذآب می‌باشد که نسبت به دیگر پارامترها تاثیر بیشتری دارد.
- ۴- مقاومت فشاری یکی از مهمترین خصوصیات مکانیکی بتن است، به طوری که طرح بهینه جهت حداکثر نمودن مقاومت فشاری منجر به حداکثر شدن مقاومت چسبندگی و حداقل شدن جذب آب می‌گردد.
- ۵- مقایسه بین نتایج روش تاگوچی و نتایج آزمایشگاهی میزان اعتبار روش تاگوچی در بهینه نمودن طرح‌های اختلاط بتن را نشان می‌دهد.
- ۶- با توجه به نتایج آزمایش XRD، وجود نانوسیلیس و میکروسیلیس در بتن سبب کاهش کریستالهای هیدروکسید کلسیم و تولید ژل متراکم C-S-H می‌شود و ریزساختار بتن را بهبود می‌بخشد، در نتیجه موجب کاهش خوردگی ناشی از واکنش سولفات‌ها و هیدروکسید کلسیم و تولید گچ می‌گردد.

#### ۱۰- مراجع

- [1] Collepardi, M., Ogoumah Olagot, J., Troli, R., Simonelli, F., Combination of Silica Fume, Fly Ash and Amorphous Nano-Silica in Superplasticized High-Performance Concretes, Enco, Engineering Concrete, Ponzano Veneto, Italy, 2007.
- [2] Yen,T. Tsao, H. H. and Yu Wen, L., Influence of class F fly & silica fume on the abrasion- erosion resistance of high-strength concrete, Constructions and Building Materials, 2005.
- [3] Razak, H.A. and Wong, H.S., Strength estimation model for high-strength concrete incorporating metakaolin and silica fume, Cement and Concrete Research 35, pp: 688-695, 2004.
- [۴] رمضانیانپور، ع. ا. و طریقت، ا.، پوزولان‌ها و نقش آن‌ها در بتن سدها، چهارمین کنفرانس سدسازی، ۱۳۸۳.
- [5] Nuruddin, M.F. and Bayuaji, R., Application of Taguchi's approach in the optimization of mix proportion for Microwave Incinerated Rice

## Optimal Prediction of the Concrete Mixture Design Containing Nano-Silica and Micro-Silica Using Taguchi Method

S. H. Hashemi\*

Assistant Professor, Civil Engineering Department, Faculty of Engineering, Arak University

H. R. Sedighi

MSc. of Structural Engineering, Faculty of Engineering, Arak University

(Received: 2013/8/3 - Accepted: 2013/11/20)

### Abstract

The current study is focused on gaining optimum concrete mixture design which contains nano-silica or micro-silica, by employing different evaluation factors such as water to the cement ratio, cement grade and different age of investigation (7 and 28 days), using a robust predictive method that is called Taguchi. Nine mixture designs are optimized by Taguchi method to achieve maximum compression strength, maximum bonding strength between concrete and rebar and minimum water absorption. Obtained mixture designs are then employed in the laboratory and the results are investigated for the optimization process. In this study the XRD test is used in addition to mechanical concrete tests and permeability test in the macro scale. Obtained results show the reliability of the Taguchi method in the prediction of the concrete mixture design.

**Keywords:** Taguchi Method, Compression Strength, Concrete and Bar Bonding, Permeability, Orthogonal Arrays, XRD Test.

\* Corresponding Author: h-hashemi@araku.ac.ir

تحقیقات بتن، سال پنجم، شماره دوم / ۵۳